

超対称格子 Majorana 模型における 超対称性の破れと厳密な基底状態

— kink と skink



三浦憂
共同研究者: 戸塚圭介、下村顕士

京大基研

August 25, 2023



Center for Gravitational Physics and
Quantum Information

Yukawa Institute for Theoretical Physics, Kyoto University



目次

- ① イントロダクション
- ② 本研究で導入する模型
- ③ SUSY SSB と NG フェルミオン
- ④ 開放端条件での厳密解
- ⑤ まとめ・今後の展望

目次

- ① イントロダクション
- ② 本研究で導入する模型
- ③ SUSY SSB と NG フェルミオン
- ④ 開放端条件での厳密解
- ⑤ まとめ・今後の展望

超対称性 (SUSY)

$\mathcal{N} = 1$ SUSY の代数

- 実超電荷: $R = R^\dagger$,
- フェルミオンパリティ: $(-1)^F$ s.t. $\{R, (-1)^F\} = 0$,
- ハミルトニアン: $H = \frac{1}{2}R^2 = \frac{1}{4}\{R, R\}$

H に対してこのような $R, (-1)^F$ があるとき、 H は SUSY を持つという。

要するに...

- H が R の 2 乗で表される系を考えるだけ
- $[R, H] = 0$, $\left[(-1)^F, H\right] = 0$
- 具体例 (自由粒子): $H = p^2/(2m)$, $R = p/\sqrt{m}$, $(-1)^F = P$ (パリティ)

超対称性 (SUSY)

SUSY を持つ系のスペクトラム構造

- H は半正定値、 $E \geq 0$
- $E = 0$ の状態 $\Leftrightarrow R|0.g.s.\rangle = 0$ と R で消滅する基底状態
- $E > 0$ の状態 $\Leftrightarrow (-1)^F = \pm 1$ のペアが R で互いに移り変わる:

$$R|E, +\rangle = \sqrt{2E}|E, -\rangle, \quad R|E, -\rangle = \sqrt{2E}|E, +\rangle$$

- 非相対論的な量子力学や格子模型でも考えることができる
[1] E. Witten, 1982 など
- 本研究ではスピン (マヨラナフェルミオン) による格子模型で SUSY SSB の相図や厳密解を調べる
[2-4] N. Sannomiya et al., 2016, 2017, 2019

本研究 1 : 超対称性の自発的破れ (SUSY SSB)

SUSY SSB の定義

- 基底状態のエネルギー**密度** $E_{g.s.}/L > 0 \stackrel{\text{def}}{\Leftrightarrow}$ SUSY SSB
 - [2-4] N. Sannomiya et al., 2016, 2017, 2019
 - 有限系では $E_{g.s.} > 0$ と通常通り
($\Leftrightarrow R|g.s.\rangle \neq 0$ 、 H が持つ SUSY 不変性が基底状態にはない!)
- $E_{g.s.} = O(L)$ で発散し、 $L \rightarrow \infty$ で $E_{g.s.}$ が定義されない可能性!
- 有限系で常に $E_{g.s.} > 0$ でも、無限系 $L \rightarrow \infty$ では $E_{g.s.}/L \rightarrow 0$ と SUSY が回復する可能性!
[5]E. Witten, 1982

本研究 1 :

- ある超対称格子模型において、SUSY SSB の相図を調べた

本研究 2 : SUSY SSB と NG フェルミオン

NG mode

- 通常の連続的対称性の SSB: NG **ボゾン** が出現
非相対論での分散関係の分類理論 **あり**
- SUSY SSB: NG **フェルミオン** (Goldstino) が出現
非相対論での分散関係の分類理論がまだ **ない**

本研究 2 :

- ある非相対論的な格子模型での、NG フェルミオンとみられる素励起を平均場近似で見つけた

さらに...

- 厳密な基底状態を周期境界条件, 開放端境界条件の両方で見つけた

目次

- ① イントロダクション
- ② 本研究で導入する模型
- ③ SUSY SSB と NG フェルミオン
- ④ 開放端条件での厳密解
- ⑤ まとめ・今後の展望

本研究で導入する模型 (1)

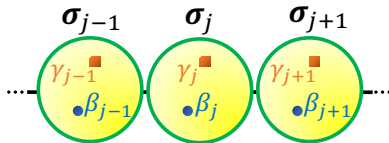
- 以下の 1 次元ハミルトニアン ($g \geq 0$ はパラメータ) は超対称性を持つ

$$H(g) :=$$

$$\frac{L}{2} + g \sum_j \underbrace{(\sigma_{j-1}^z - \sigma_j^x \sigma_{j+1}^x)}_{\text{臨界横磁場イジング}} + g^2 \sum_j \underbrace{\left(\frac{1}{2} - \sigma_{j-1}^z \sigma_j^x \sigma_{j+1}^x \right)}_{\text{相互作用}}$$

- 超電荷は \rightarrow のマヨラナフェルミオンを用いて

$$R(g) = \sum_j (\beta_j + ig\beta_j\beta_{j+1}\gamma_j)$$



マヨラナフェルミオン:

$$\beta_j := (-\sigma_1^z) \cdots (-\sigma_{j-1}^z) \sigma_j^x$$

$$\gamma_j := (-\sigma_1^z) \cdots (-\sigma_{j-1}^z) \sigma_j^y$$

$$\{\beta_i, \beta_j\} = \{\gamma_i, \gamma_j\} = 2\delta_{i,j}$$

$$\{\beta_i, \gamma_j\} = 0$$

$$(-1)^F := \prod_{j=1}^L (-\sigma_j^z)$$

本研究で導入する模型 (2)

本研究で導入する模型 ($g \geq 0$ はパラメータ、1次元 $S = 1/2$ スピン系)

$$H(g) := \frac{1}{2}R(g)^2 = \frac{L}{2} + g \sum_j \underbrace{(\sigma_{j-1}^z - \sigma_j^x \sigma_{j+1}^x)}_{\text{臨界横磁場イジング}} + g^2 \sum_j \underbrace{\left(\frac{1}{2} - \sigma_{j-1}^z \sigma_j^x \sigma_{j+1}^x\right)}_{\text{相互作用}}$$

マヨラナフェルミオン表示では

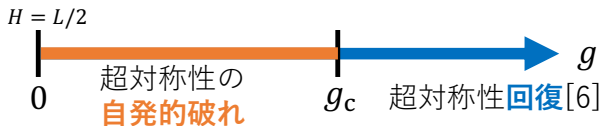
$$H(g) := \frac{1}{2}R(g)^2 = \frac{L}{2} + g \sum_j i(\beta_{j+1} - \beta_j)\gamma_j + g^2 \sum_j \left(\frac{1}{2} + \beta_{j-1}\gamma_{j-1}\beta_{j+1}\gamma_j\right)$$

- 臨界点上の横磁場イジング模型に、相互作用 $\sigma_{j-1}^z \sigma_j^x \sigma_{j+1}^x$ を加えたもの
- 超対称性の手法を用いて基底状態を調べることができる

模型の SUSY SSB の相図

$$H(g) := \frac{1}{2}R(g)^2 = \frac{L}{2} + g \sum_j (\sigma_{j-1}^z - \sigma_j^x \sigma_{j+1}^x) + g^2 \sum_j \left(\frac{1}{2} - \sigma_{j-1}^z \sigma_j^x \sigma_{j+1}^x \right)$$

- 周期境界条件において↓
(無限系の SUSY SSB は境界条件によらない)



g	$H(g)$	$E_{g.s.}/L$	SUSY SSB	備考
0	$L/2$	$1/2$	○	trivial
∞	$g^2 \sum_j \left(\frac{1}{2} - \sigma_{j-1}^z \sigma_j^x \sigma_{j+1}^x \right)$	0	×	可解模型 [6]

目次

- ① イントロダクション
- ② 本研究で導入する模型
- ③ SUSY SSB と NG フェルミオン
- ④ 開放端条件での厳密解
- ⑤ まとめ・今後の展望

g_c の上限 1 (厳密解による上限)

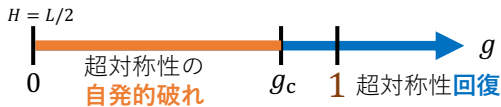
- **周期境界条件**かつ $g = 1$ の場合、ハミルトニアンは以下の通り

$$H(g = 1) = \sum_j (1 + \sigma_{j-1}^z)(1 - \sigma_j^x \sigma_{j+1}^x)$$

- よって以下のような trivial/topological 状態が **0 エネルギー基底状態!**
- $g = 1$ で SUSY SSB は起きておらず、 $g_c < 1!$
- 超電荷による消滅条件 $R|0.g.s.\rangle = 0$ から理解できる

$$|\text{triv}\rangle := |\cdots \downarrow\downarrow\downarrow \cdots\rangle$$

$$|\text{topo}\pm\rangle := \frac{1}{\sqrt{2}}(|\cdots \rightarrow\rightarrow\rightarrow \cdots\rangle \pm |\cdots \leftarrow\leftarrow\leftarrow \cdots\rangle)$$



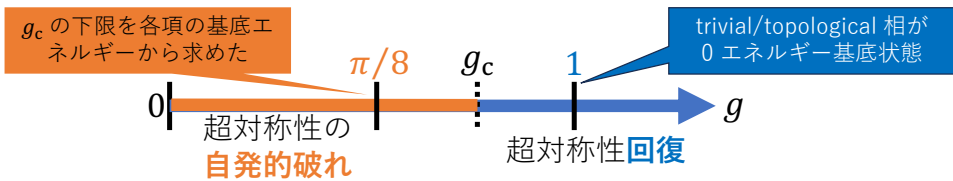
g_c の下限 $\pi/8$ (変分原理による下限)

- $H(g)$ の基底状態を $|g.s.\rangle$ として変分原理より

$$E_{g.s.}/L = \frac{\langle g.s. | H(g) | g.s. \rangle}{L} = \langle g.s. | \left(\frac{1}{2} + gH_{\text{free}}/L + g^2 H_{\text{int}}/L \right) | g.s. \rangle$$

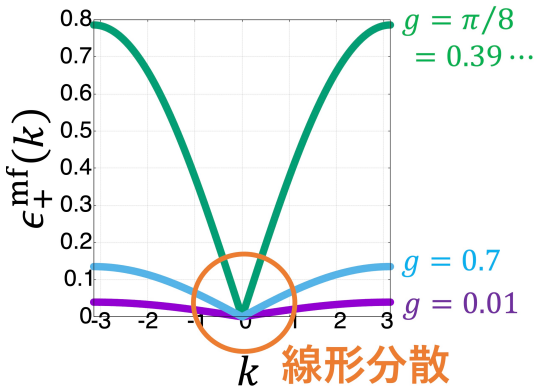
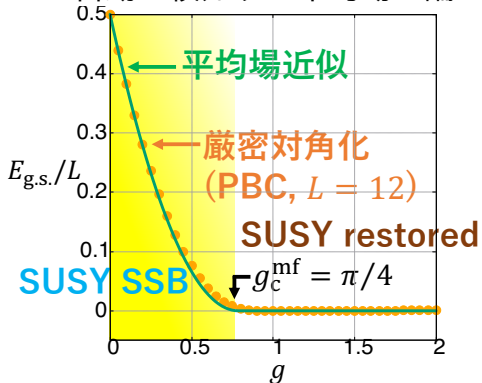
$$\geq \frac{1}{2} + gE_{g.s.}^{\text{free}}/L + g^2 E_{g.s.}^{\text{int}}/L = \frac{1}{2} \left(1 - \frac{8}{\pi} g \right)$$

⇒ 少なくとも $g < \pi/8 = 0.39\dots$ では $E_{g.s.}/L > 0$ で、**SUSY SSB!**



超場形式による平均場近似

- 超場形式で導入される SUSY SSB の秩序変数を用いて、SUSY SSB を自動で検知する平均場理論を構築できる



- 平均場理論での転移点 $g_c^{\text{mf}} = \pi/4$ を得る
- 線形分散のバンドが $g < g_c^{\text{mf}}$ でのみ出現...NG フェルミオン

目次

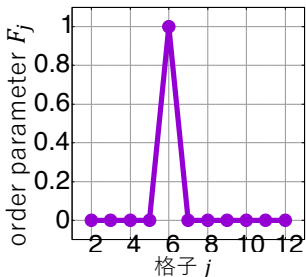
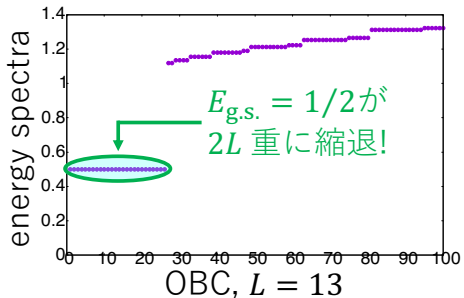
- ① イントロダクション
- ② 本研究で導入する模型
- ③ SUSY SSB と NG フェルミオン
- ④ 開放端条件での厳密解
- ⑤ まとめ・今後の展望

開放端条件での厳密解

- $g = 1$ で、**開放端条件**をとる: このとき、以下の kink 状態が基底状態 ($E_{g.s.} = 1/2$)

$$|\cdots \downarrow\downarrow\downarrow\uparrow \xrightarrow{\quad} \rightarrow \rightarrow \cdots\rangle, |\cdots \downarrow\downarrow\downarrow\uparrow \xleftarrow{\quad} \leftarrow \leftarrow \cdots\rangle \quad (j = 1, \cdots, L)$$

- ↑ の位置と \rightarrow, \leftarrow の選び方で $2L$ 重に縮退、秩序変数も ↑ の位置に局在



開放端条件での厳密解 ... kink と skink

- この kink 状態は $E_{\text{g.s.}} = 1/2 > 0$ を持ち、SUSY のペアを成している。それを見るには、kink 状態を $(-1)^F = \prod_{j=1}^L (-\sigma_j^z)$ の固有状態に取る:

$$|j, \text{kink}\rangle := \frac{1}{\sqrt{2}} \left(|\cdots \downarrow\downarrow\downarrow\uparrow_j \rightarrow\rightarrow\rightarrow \cdots\rangle + |\cdots \downarrow\downarrow\downarrow\uparrow_j \leftarrow\leftarrow\leftarrow \cdots\rangle \right)$$

$$|j, \text{skink}\rangle := \frac{1}{\sqrt{2}} \left(|\cdots \downarrow\downarrow\downarrow\uparrow_j \rightarrow\rightarrow\rightarrow \cdots\rangle - |\cdots \downarrow\downarrow\downarrow\uparrow_j \leftarrow\leftarrow\leftarrow \cdots\rangle \right)$$

- これらは超電荷の作用によって入れ替わる SUSY のペアを成す:

$$R(g=1) |j, \text{kink}\rangle = - |j, \text{skink}\rangle$$

$$R(g=1) |j, \text{skink}\rangle = - |j, \text{kink}\rangle$$

目次

- ① イントロダクション
- ② 本研究で導入する模型
- ③ SUSY SSB と NG フェルミオン
- ④ 開放端条件での厳密解
- ⑤ **まとめ・今後の展望**

まとめ・今後の展望

まとめ

- $g = 1$ で周期境界条件を取ると、基底状態は triv/topo が縮退
- SUSY SSB の転移点 g_c の上限・下限を求めた、 $\pi/8 \leq g_c \leq 1$
- 超場形式 + 平均場理論によって SUSY SSB 及び NG フェルミオンの出現を定性的に捉えた、線形分散の NG フェルミオンが出現
- $g = 1$ で開放端境界条件を取ると、基底状態は kink/skink が縮退

今後の展望

- NG フェルミオンの分散の次数を諸不等式により一般に定める
- 平均場理論を空間的に不均一な秩序変数に拡張
- kink-skink 解における NG フェルミオンの出現を調べる
- Witten 指数の活用

超場形式

- マヨラナ超場 $B_j(t, \theta) := \beta_j(t) + \theta\sqrt{2}F_j(t)$, $\Gamma_j(t, \theta) := \gamma_j(t) + \theta\sqrt{2}G_j(t)$

超場による作用の表式

$$S = \int dt \int d\theta \sum_j \left(\frac{1}{4} B_j \mathcal{D} B_j + \frac{1}{4} \Gamma_j \mathcal{D} \Gamma_j - \frac{1}{\sqrt{2}} (B_j + ig B_j B_{j+1} \Gamma_j) \right)$$

θ 積分を実行 (フェルミオンと補助場による作用の表式)

$$S = \int dt \sum_{j=1}^L \left(\frac{1}{4} \beta_j i \dot{\beta}_j + \frac{1}{4} \gamma_j i \dot{\gamma}_j + \frac{1}{2} F_j^2 + \frac{1}{2} G_j^2 \right. \\ \left. - F_j \{ 1 + g(i\beta_{j+1}\gamma_j - i\beta_{j-1}\gamma_{j-1}) \} - gG_j i\beta_j \beta_{j+1} \right)$$

超場形式による平均場近似

- $F_j = \{R, \beta_j\} / 2 = 1 + g(i\beta_{j+1}\gamma_j - i\beta_{j-1}\gamma_{j-1}) = 1 + g(\sigma_{j-1}^z - \sigma_j^x \sigma_{j+1}^x)$ 、
 $G_j = \{R, \gamma_j\} / 2 = gi\beta_j\beta_{j+1} = -g\sigma_j^y \sigma_{j+1}^x$
 と F_j, G_j は無限小超対称変換
- 有限系で SUSY unbroken とすると $R|g.s.\rangle = 0, \langle g.s. | R = 0$
 $\Rightarrow \langle F_j \rangle_{g.s.} = \langle G_j \rangle_{g.s.} = \langle g.s. | \{R, *\} | g.s. \rangle = 0$

対偶により

有限系で $\langle F_j \rangle_{g.s.} \neq 0$ または $\langle G_j \rangle_{g.s.} \neq 0 \Rightarrow$ **SUSY SSB**

有限系において、 $\langle F_j \rangle_{g.s.}$ や $\langle G_j \rangle_{g.s.}$ は SUSY SSB の秩序変数

- 無限系でも、 $\langle F_j \rangle_{g.s.}$ や $\langle G_j \rangle_{g.s.}$ の空間平均は秩序変数として機能